



## شبیه‌سازی دینامیک مولکولی برای بررسی کوتاه مدت و مونت کارلوی جنبشی برای بررسی بلند مدت آسیب تابش در آهن-آلfa

سید مهرداد زمزمانی<sup>۱\*۲</sup>، سید امیرحسین فقهی<sup>۱</sup>، محمد صمدفام<sup>۲</sup>

۱. گروه کاربرد پرتوها، دانشکده مهندسی هسته‌ای، دانشگاه شهید بهشتی، صندوق پستی: ۱۹۸۳۹۶۹۴۱۱، تهران- ایران

۲. گروه مهندسی هسته‌ای، دانشکده مهندسی انرژی، دانشگاه صنعتی شریف، صندوق پستی: ۱۴۵۸۸۸۹۶۹۴، تهران- ایران

\*Email: mehrdad.zamzamian@gmail.com

### مقاله‌ی پژوهشی

تاریخ دریافت مقاله: ۱۴۰۰/۷/۱۲ تاریخ پذیرش مقاله: ۱۴۰۰/۸/۲۳

### چکیده

به کمک شبیه‌سازی دینامیک مولکولی می‌توان تحلیل کوتاه مدت در مقیاس زمانی چند ده پیکوثانیه‌ای را برای مواد آسیب دیده‌ی تابشی مورد مطالعه قرار داد. بر همین مبنای کمک این شبیه‌سازی، تعداد تعادلی عیوب نقطه‌ای بین‌نشین و تهی‌جای و مختصات مکانی آن‌ها در آهن-آلfa به دست آورده شد. سپس با استفاده از نتایج حاصل شده، شبیه‌سازی مونت کارلوی جنبشی شیء به منظور بررسی تأثیر بازپخت آهن-آلfa آسیب دیده‌ی تابشی انجام شد. نتایج شبیه‌سازی نشان دادند که در بازپخت یکنواخت آهن-آلfa آسیب دیده‌ی تابشی تنها عیوب خوش‌های تهی جای بزرگ‌تر از  $<111>$  تا دماهایی بالاتر از دمای انتقال پایدار باقی می‌مانند.

### کلیدواژه‌ها: شبیه‌سازی مولکولی، شبیه‌سازی مونت کارلوی جنبشی شیء، آهن-آلfa، بین‌نشین، تهی جای

## Molecular dynamics simulations for short-term investigation and kinetic Monte Carlo for long-term investigation of radiation damage in alpha-iron

S.M. Zamzamian<sup>\*1,2</sup>, S.A.H. Feghhi<sup>1</sup>, M. Samadfam<sup>2</sup>

1. Department of Radiation Application, Faculty of Nuclear Engineering, Shahid Beheshti University, P.O.BOX: 1983969411 Tehran, Iran

2. Department of Nuclear Engineering, Faculty of Energy Engineering, Sharif University of Technology, P.O.BOX: 1458889694 Tehran, Iran

### Research Article

Received 4.10.2021, Accepted 14.11.2021

### Abstract

Using molecular dynamics simulations, short-term analysis on a time scale of several tens of picoseconds of displacement cascade in radiation-damaged materials was studied. Accordingly, this simulation obtained the equilibrium number of interstitial/vacancy defects and their positions in iron-alpha. Then, the object kinetic Monte Carlo (OKMC) simulations were performed using the obtained results to investigate the effect of annealing on the irradiated alpha-iron. The simulation results showed that in the isochronal annealing of the irradiated alpha-iron, only vacancy cluster defects were more significant than four vacancies, and  $<111>$  defects remained stable at temperatures above room temperature.

**Keywords:** Molecular dynamics simulation, Object kinetic Monte Carlo simulation, Alpha-iron, Interstitial, Vacancy



## ۱. مقدمه

تغییراتی که به علت تابش‌های یونیزاسیونی مثل نوترون‌ها و پرتوهای گاماًی پرانرژی در مواد مختلف به ویژه فلزات که مواد ساختاری بسیاری از تجهیزات کاربردی هستند ایجاد می‌شود بسیار قابل توجه هستند [۱]. از جمله مهم‌ترین مواد مورد استفاده در بسیاری از تجهیزات تحت تابش (مانند محفظه‌ی تحت فشار رآکتور) فولاد بر پایه‌ی آهن-آلfa است. از این‌رو مطالعه‌ی آسیب ناشی از تابش بر این ماده به منظور بررسی میزان تشکیل عیوب و نحوه برهم‌کنش آن‌ها به منظور رهمنون شدن به روش‌هایی به منظور افزایش مقاومت در برابر تابش از اهمیت بسزایی برخوردار است.

اولین رویداد ناشی از این تابش‌ها در قالب انتقال انرژی از یک ذره‌ی فرودی به اتمی از ماده و در نتیجه تولید یک اتم ضربه خورده‌ی اولیه<sup>۱</sup> (PKA) است. این اتم سپس از جایگاه خود خارج شده و ایجاد اتم‌های جای‌جا شده بیشتری در قالب یک آبشار جایه‌جا می‌کند. در نهایت پس از توقف کامل این اتم‌های اولیه و ثانوی و برقراری تعادل، مجموعه‌ای از عیوب نقطه‌ای به صورت بین‌نشین<sup>۲</sup> و تهی‌جای<sup>۳</sup> در ماده‌ی مزبور به وجود می‌آیند [۲]. حضور این عیوب می‌تواند بسیاری از خواص فیزیکی و مکانیکی ماده را دستخوش تغییر قرار دهد [۳]. به علاوه، از مهاجرت این عیوب می‌تواند حجم‌هی متمن‌کریزی از آن‌ها پدید آید که در نهایت ممکن است منجر به تورم یا ایجاد ترک در آن ماده شود [۴]. از آن‌جایی که مقیاس زمانی وقوع این آسیب‌ها پس از انتقال انرژی از ذره‌ی فرودی تا به برقراری تعادل در حد تنها چند ده پیکو ثانیه در مقیاس ابعادی چند ده انگستروم است، بررسی کوتاه مدت این پدیده‌ها به صورت تجربی عملاً غیرممکن است [۵]. از طرفی، بررسی بلندمدت این پدیده‌ها که به مهاجرت و نفوذ عیوب نقطه‌ای در مقیاس زمانی بزرگ‌تر از ثانیه برای مطالعه‌ی تغییرات درشت مقیاس<sup>۴</sup> می‌پردازد، به دلیل نیاز به صرف زمانی بس طولانی برای مطالعه‌ی آثاری مانند تورم بسیار پرهزینه است و بررسی‌های تجربی در این زمینه عموماً به نمونه‌های شاهد در رآکتورهای هسته‌ای خلاصه می‌شود [۶]. از این‌رو، شبیه‌سازی‌های دینامیک مولکولی و مونت کارلوی جنبشی شی<sup>۵</sup> می‌توانند ابزارهایی سودمند برای بررسی این آثار باشند.

## ۲. روش کار

### ۱۲. شبیه‌سازی دینامیک مولکولی (MD)

در شبیه‌سازی دینامیک مولکولی از کد لمپس [۷] به همراه پتانسیل بین اتمی توسعه یافته بوسیله‌ی مندلوف<sup>۶</sup> و همکارانش برای آهن-آلfa [۸] استفاده شد. مشخص شده است که می‌توان از این پتانسیل به منظور مطالعه‌ی آسیب تابش بهره برد [۹]. شرایط مرزی در هر سه بعد سلول شبیه‌سازی، تناوبی در نظر گرفته شد. اندازه سلول به قدر کافی بزرگ در نظر گرفته شد تا از تداخل آبشار جایه‌جا می‌باشد. جلوگیری شود. به منظور واهلش<sup>۷</sup> شبکه بلوری، در ابتدا از ترموموستات لانژون<sup>۸</sup> به همراه هنگرد میکروکاتونی (NVE) به مدت ۲ پیکوثانیه به منظور بالا بردن و تنظیم با ثبات دما تا ۳۰۰ کلوین استفاده شد. سپس به مدت ۲۰ پیکوثانیه سیستم با استفاده از هنگرد دما ثابت (NVT) واهلش حرارتی شد. گام‌های زمانی در تمامی این فرایندها ۱۰۰ فرمتوثانیه در نظر گرفته شده بود. ایجاد آبشار جایه‌جا به بوسیله‌ی اختصاص انرژی اولیه ۱، ۳ و ۷ keV کدام در ده جهت تصادفی مختلف به یکی از اتم‌های آهن واقع در مرکز سلول شبیه‌سازی به عنوان اتم ضربه خورده‌ی اولیه صورت گرفت و در نهایت تعداد تعادلی عیوب نقطه‌ای و محل فضایی آن‌ها در سلول شبیه‌سازی پس از گذر زمان ۳۰ پیکوثانیه به دست آورده شد.

### ۲۰. شبیه‌سازی مونت کارلوی جنبشی شی (OKMC)

در یک شبیه‌سازی دینامیک مولکولی حالت‌های متوالی سیستم با هم ارتباط زمانی دارند به طوری که هر حالت (موقعیت و اندازه حرکت اتم‌ها) به حالت‌های قبل از خود وابسته است. اما در شبیه‌سازی مونت کارلو گذار از این حالت‌ها به صورت مارکوف است، یعنی نرخ‌های گذار  $r_{ij}$  تنها به حالت ابتدایی  $i$  و حالت نهایی  $j$  وابسته است و به حالت‌های قبل تر بستگی ندارد. این گذارها به عنوان داده‌های ورودی الگوریتم مونت کارلو هستند که ما می‌توانیم آن‌ها را از قانون آرنیوس ذیل به دست آوریم:

$$r_{ij} = p_{ij} \times \exp(-E_{ij} / k_B T) \quad (1)$$

که انرژی فعال‌سازی،  $k_B$  ثابت بولتزمن،  $T$  دما بر حسب کلوین و  $E_{ij}$  پیش ضریب است. مقادیر این پارامترها برای آهن-

6. Mendelev

7. Relaxation

8. Langevin Thermostat

Journal of Nuclear Science and Technology

Vol. 44 (2), Serial Number 103, 2023, P 130-135

1. Primary Knock-on Atom

2. Interstitial

3. Vacancy

4. Macroscopic

5. Object Kinetic Monte Carlo



الی ۴ برابر تعداد حاصل از رابطه‌ی نارگت و همکاران است. بدین ترتیب می‌توان اذعان داشت که رابطه‌ی نارگت و همکاران تعداد عیوب را بیش از حد تخمین می‌زند و این نتیجه در تطابق با نتایج دیگر محققان است (برای مثال [۱۵]). از طرفی، کالدر و همکاران [۱۶] نیز به وسیله‌ی شبیه‌سازی دینامیک مولکولی عیوب زوج فرنکل به تعداد ۴۶، ۱۰ و ۱۸/۳ را به ترتیب برای PKA‌هایی با انرژی‌های ۱، ۳ و ۷ keV گزارش داده‌اند که سازگاری بسیار خوبی با نتایج ما دارد. برای مشاهده‌ی وضعیت تشکیل آبشار جابه‌جاوی، شکل ۱ نمونه‌ای از سیر تکاملی آبشار آسیب تا رسیدن به واهلش نهایی برای آبشار ناشی از PKA با انرژی ۷ keV را نشان می‌دهد. کره‌های آبی رنگ در این شکل بیانگر تهی‌جای‌ها و کره‌های قرمز رنگ بیانگر بین‌نشین‌ها هستند. از این شکل نمایان است که بین‌نشین‌ها حرکت آزادانه‌تری نسبت به تهی‌جای‌ها دارند و بنابراین باید انرژی مهاجرت کوچکتری را دارا باشند. برای تحلیل بیشتر این موضوع باید مختصات مکانی کل عیوب تشکیل شده در شبیه‌سازی‌ها را مورد ارزیابی قرار دهیم. در شکل ۲، نمودار کانتور پراکندگی عیوب نقطه‌ای بین‌نشین و تهی‌جای حاصل از آبشار جابه‌جاوی تولید شده از PKA‌هایی با انرژی‌های ۱، ۳ و ۷ keV به تصویر کشیده شده است. همان‌طور که مشخص است، با افزایش انرژی PKA گستره‌ی پراکندگی عیوب نقطه‌ای نیز بزرگ‌تر می‌شود. همچنین با توجه به شکل ۲ مشاهده می‌شود که میزان پراکندگی بین‌نشین‌ها بیشتر از تهی‌جای‌ها است. علت این امر انرژی مهاجرت کوچک‌تر بین‌نشین‌ها نسبت به تهی‌جای‌ها است که به ترتیب ۳۱ eV و ۶۴ eV است [۱۷]. این باعث می‌شود که بین‌نشین‌ها آزادانه‌تر و راحت‌تر در ماده طی مسیر کنند و بنابراین گستره‌ی پراکندگی آن‌ها وسیع‌تر باشد. این باعث می‌شود تا تهی‌جای‌ها تشکیل خوش‌هایی با اندازه‌های بزرگ‌تری نسبت به بین‌نشین‌ها بدeneند (همان‌طور که در شکل ۱ نیز می‌توان دید).

پس از به دست آمدن تعداد نهایی عیوب نقطه‌ای حاصل از PKA‌هایی با انرژی‌های ۱، ۳ و ۷ keV و موقعیت آن‌ها در سلول شبیه‌سازی، از این نتایج در شبیه‌سازی مونت کارلوی جنبشی شی به منظور بررسی تأثیر بازیخت یکنواخت<sup>۳</sup> آهن-آلfa بر بازترکیب عیوب نقطه‌ای تنها و تشکیل خوش‌هایی عیوب نقطه‌ای و خوش‌های بین‌نشین [۱۱] استفاده شد.

آلفا برای حالت‌های مختلف عیوب توسط بیورکاس<sup>۱</sup> و همکارانش [۱۰] گزارش شده است که در این پژوهش از این مقادیر استفاده شده است. حال به منظور سادگی، با صرف نظر از حالت‌های ابتدایی پیکربندی‌ها، می‌توان الگوریتمی به ترتیب زیر را برای این روش داشت:

۱. تعیین مختصات اولیه‌ی شی‌ها (عیوب) و به دست آوردن تابع تجمعی ذیل:

$$R_{ij} = \sum_{j=1}^i r_i \quad (2)$$

برای نهای از ۱ تا N، که N تعداد کل گذارها در سیستم مورد نظر است.

۲. تولید دو عدد تصادفی واقع در بازه از ۰ تا ۱ برای r<sub>s</sub> و r<sub>t</sub>

۳. پیدا کردن رویداد n که در آن این شرط برقرار است:

$$R_{i-1} < rR_N \leq R_i$$

۴. در رویداد n، شی از حالت i به حالت j می‌رود.

۵. افزایش زمان کل شبیه‌سازی به مقدار:

$$\Delta t = \frac{\ln(1/s)}{R_N} \quad (3)$$

۶. محاسبه‌ی مجدد نرخ‌های گذار درگیر در این تغییر.

۷. بازگشت به پله‌ی اول تا زمانی که زمان فیزیکی مورد نیاز در شبیه‌سازی به اتمام برسد.

شبیه‌سازی مونت کارلوی جنبشی شی روشی مرسوم و قابل اعتبار برای مطالعه‌ی آسیب تابش در مقیاس زمانی بلند مدت است [۱۲، ۱۱].

### ۳. نتایج و بحث

نارگت و همکاران [۱۳] رابطه‌ی N<sub>F</sub> = ۰,۸E<sub>PKA</sub> / ۲E<sub>d</sub> (که E<sub>d</sub> در این رابطه انرژی جابه‌جاوی است و تقریباً برابر با ۴۰ eV [۱۴] است) را برای تخمین عیوب پیشنهاد داده‌اند. با توجه به نتایج شبیه‌سازی دینامیک مولکولی، آن‌چه که برای تعداد زوج‌های فرنکل<sup>۲</sup> باقی‌مانده پس از سپری شدن ۳۰ پیکوثانیه زمان واهلش بعد از ایجاد آبشار جابه‌جاوی به دست آمد برای PKA‌هایی با انرژی‌های ۱، ۳ و ۷ keV به ترتیب ۵,۹±۱,۹۵ و ۵,۹±۱,۹۵ بود. این تعداد عیوب در حدود ۲

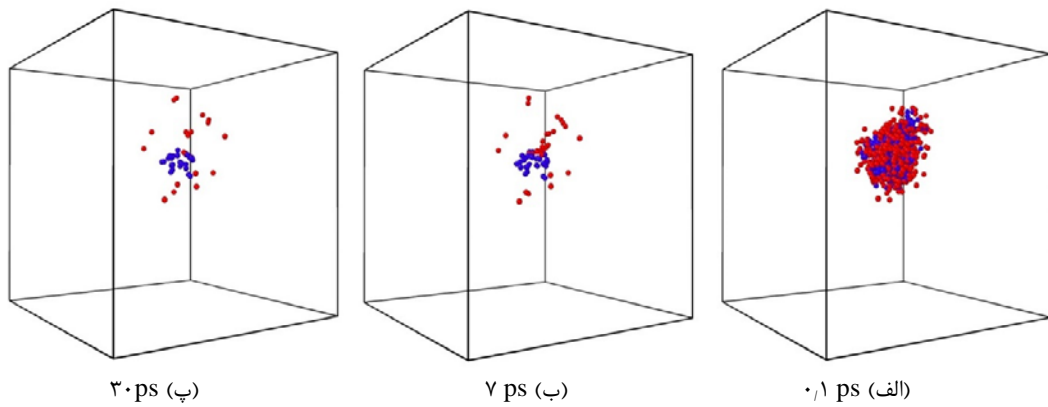
9. Bjorkas

10. Frenkel Pairs

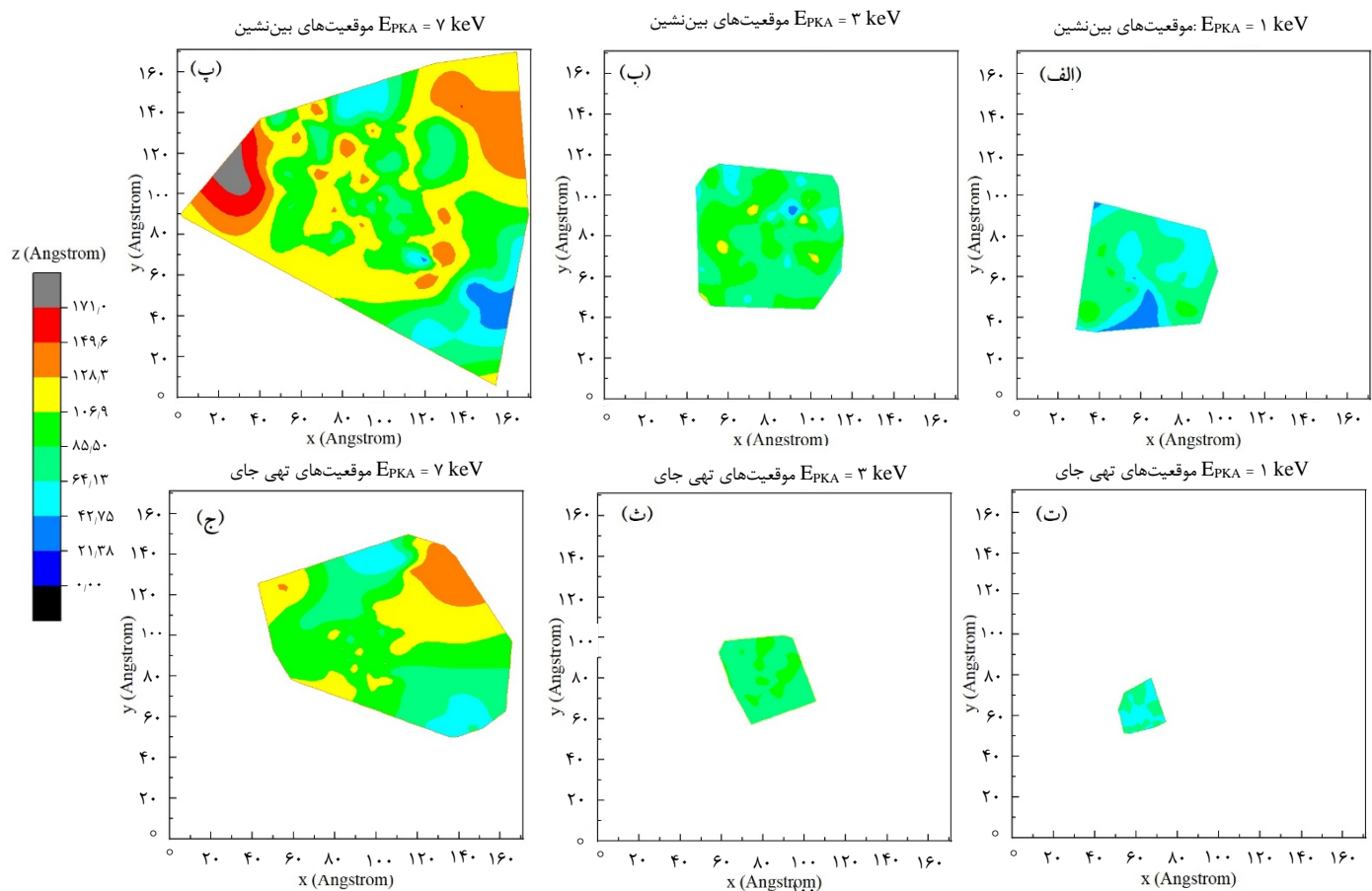
مجله علوم و فنون هسته‌ای

دوره ۴۴، شماره ۱، جلد ۱۰۳، بهار ۱۴۰۲، ص ۱۳۰-۱۳۵





شکل ۱. سیر تکاملی آبشار آسیب ناشی از PKA با انرژی  $7 \text{ keV}$  در سه نقطه‌ی زمانی (الف)  $0.1 \text{ ps}$ ، (ب)  $7 \text{ ps}$  و (پ)  $30 \text{ ps}$  از آسیب. قرمزها: بین‌نشین، آبی‌ها: تهی جای.

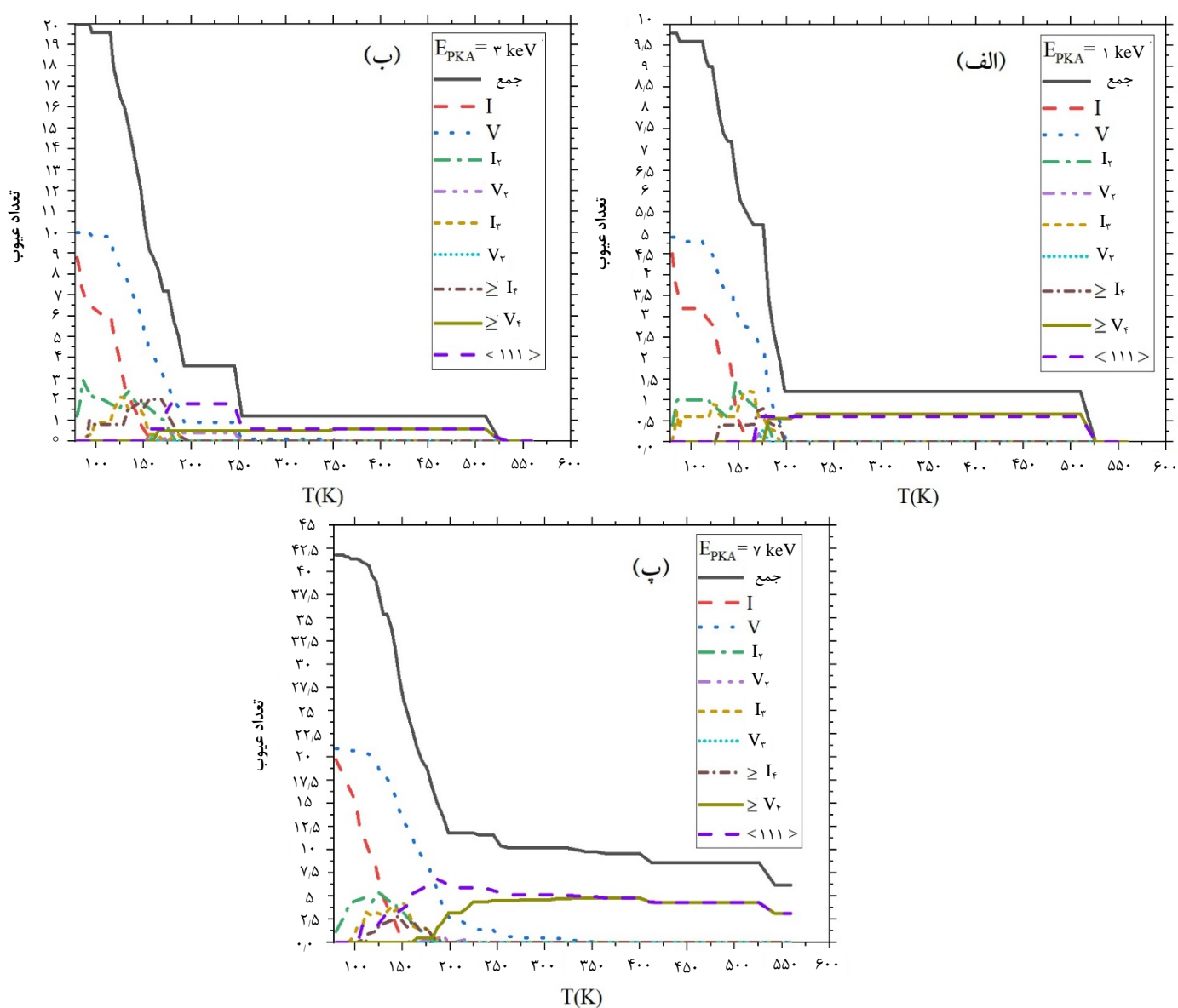


شکل ۲. نمودار کانتور پراکندگی عیوب نقطه‌ای بین‌نشین و تهی جای حاصل از آبشار جابه‌جایی تولید شده از PKAهایی با انرژی‌های  $1$ ،  $3$  و  $7 \text{ keV}$  هر کدام در  $10$  جهت تصادفی مختلف.

بازترکیب می‌شود. عموم خوشه‌های عیوب تشکیل شده نهایتاً تا دمای اتاق باقی می‌مانند و فراتر از این دما تنها خوشه‌های تهی جای برابر یا بزرگ‌تر از  $4$  تهی جای و خوشه‌های بین‌نشین  $<111>$  پایدار باقی می‌مانند.

شکل ۳ تعداد این عیوب را بر حسب دمای بازپخت (کلوین) برای سه PKA (الف)  $1 \text{ keV}$  (ب)  $3 \text{ keV}$  و (پ)  $7 \text{ keV}$  نشان می‌دهد. همان‌طور که مشاهده می‌شود، تعداد کل آسیب‌ها عموماً در دمای بازپخت  $200$  کلوین دچار افت شدیدی ناشی از





شکل ۳. بازپخت یکنواخت آهن-آلfa آسیب دیده از PKAهایی با انرژی‌های ۱، ۳ و ۷ keV.

شد که تمامی عیوب غیر از عیوب خوشهای تهی جای بزرگ‌تر یا مساوی  $\langle 111 \rangle$  تا دماهایی فراتر از دمای اتاق پایدار باقی می‌مانند که این پایداری به انرژی PKA بستگی دارد. این عیوب برای PKAهایی با انرژی‌های ۱ و ۳ keV نهایتاً تا حدوداً ۵۲۰ کلوین و برای PKAهایی با انرژی ۷ keV تا فراتر از این دما پایدار باقی می‌مانند.

#### ۴. نتیجه‌گیری

به منظور مطالعه‌ی میزان آسیب ناشی از تابش در آهن-آلfa در مقیاس زمانی کوتاه مدت، از شبیه‌سازی دینامیک مولکولی استفاده شد. در این راستا، نتایج شبیه‌سازی حاکی از آن بودند که تعداد زوج‌های فرنکل باقی‌مانده پس از گذر زمان ۳۰ پیکوثانیه از وقوع آبشار جابه‌جایی برای PKA هایی با انرژی‌های ۱، ۳ و ۷ keV به ترتیب  $9,29 \pm 2,46$ ،  $5,9 \pm 1,95$  و  $18,25 \pm 4,87$  هستند. از این نتایج و محل فضایی این عیوب در سلول شبیه‌سازی آهن-آلfa برای شبیه‌سازی مونت کارلوی جنبشی شی به منظور بررسی تأثیر بازپخت یکنواخت آهن-آلfa بر بازترکیب عیوب نقطه‌ای تنها و تشکیل خوشهای عیوب نقطه‌ای و خوشهای بین‌نشین  $\langle 111 \rangle$  استفاده شد. مشاهده



- سید مهرداد زمزیان، سید امیرحسین فقهی، محمد صمدفام
- G.S. Was, *Fundamentals of Radiation Materials Science, Metals and Alloys*, Springer (2007).
  - S.M. Zamzamian, et al., *Atomistic simulation of the effect of carbon content and carbon-rich region on irradiation response of  $\alpha$ -Fe on picosecond timescale*, *Nucl. Instrum. Methods Phys. Res., B* **443**, 70-78 (2019).
  - K.L. Murty, I. Charit, *An introduction to nuclear materials: fundamentals and applications*, John Wiley & Sons (2013).
  - T. Toyama, et al, *Effects of neutron flux on irradiation-induced hardening and defects in RPV steels studied by positron annihilation spectroscopy*, *J. Nucl. Mater.*, **532**, 152041 (2020).
  - D.J. Bacon, et al., *MD description of damage production in displacement cascades in copper and  $\alpha$ -iron*, *J. Nucl. Mater.*, **323(2-3)**, 152-162 (2003).
  - ASTME185-10, *Standard Practice for Design of Surveillance Programs for Light-Water Moderated Nuclear Power Reactor Vessels*, ASTM International, West Conshohocken, (2010).
  - S. Plimpton, *Fast parallel algorithms for short-range molecular dynamics*, *J. Comput. Phys.*, **117(1)**, 1-19 (1995).
  - M. Mendelev, et al., *Development of new interatomic potentials appropriate for crystalline and liquid iron*, *Philos. Mag.*, **83(35)**, 3977-3994 (2003).
  - K. Nordlund, J. Wallenius, L. Mälärba, *Molecular dynamics simulations of threshold displacement energies in Fe*, *Nucl. Instrum. Methods Phys. Res., B* **246(2)**, 322-332 (2006).
  - C. Björkas, K. Nordlund, M.J. Caturla, *Influence of the picosecond defect distribution on damage accumulation in irradiated  $\alpha$ -Fe*, *Phys. Rev., B* **85(2)** (2012).
  - V. Jansson, L. Mälärba, *OKMC simulations of Fe-C systems under irradiation: Sensitivity studies*, *J. Nucl. Mater.*, **452(1)**, 118-124 (2014).
  - C. Domain, C.S. Becquart, L. Mälärba, *Simulation of radiation damage in Fe alloys: an object kinetic Monte Carlo approach*, *J. Nucl. Mater.*, **335(1)**, 121-145 (2004).
  - M. Norgett, M. Robinson, I. Torrens, *A proposed method of calculating displacement dose rates*, *Nucl. Eng. Des.*, **33(1)**, 50-54 (1975).
  - S. Miyashiro, S. Fujita, T. Okita, *MD simulations to evaluate the influence of applied normal stress or deformation on defect production rate and size distribution of clusters in cascade process for pure Cu*, *J. Nucl. Mater.*, **415(1)**, 1-4 (2011).
  - R.E. Stoller, *11 Primary radiation damage formation*, *Comprehensive Nuclear Materials*, **1**, (2012).
  - A.F. Calder, et al, *Computer simulation of cascade damage in  $\alpha$ -iron with carbon in solution*, *J. Nucl. Mater.*, **382(2-3)**, 91-95 (2008).
  - K. Nakashima, R.E. Stoller, H. Xu, *Recombination radius of a Frenkel pair and capture radius of a self-interstitial atom by vacancy clusters in bcc Fe*, *J. Condens. Matter Phys.*, **27(33)**, 335401 (2015).

**COPYRIGHTS**

©2021 The author(s). This is an open access article distributed under the terms of the Creative Commons Attribution (CC BY 4.0), which permits unrestricted use, distribution, and reproduction in any medium, as long as the original authors and source are cited. No permission is required from the authors or the publishers.

**استناد به این مقاله**

سید مهرداد زمزیان، سید امیرحسین فقهی، محمد صمدفام (۱۴۰۲)، شبیه‌سازی دینامیک مولکولی برای بررسی کوتاه مدت و مونت کارلوی جنبشی برای بررسی بلند مدت آسیب تابش در آهن-آلfa، ۱۰۳، ۱۳۵-۱۳۰

**DOI:** [10.24200/nst.2022.1658](https://jonsat.nstri.ir/article_1521.html)

**Url:** [https://jonsat.nstri.ir/article\\_1521.html](https://jonsat.nstri.ir/article_1521.html)

